



# Die multivariante periodische Wavelet-Transformation auf anisotropen regelmäßigen Mustern

Ronny Bergmann

Institut für Mathematik  
Universität zu Lübeck

27. Mai 2011, Osnabrück

32. Norddeutsches Kolloquium über Angewandte Analysis  
und Numerische Mathematik



# Inhalt

- 1 Einleitung
- 2 Das Muster
- 3 FFT
- 4 FWT

# Einleitung - Motivation

## Im Eindimensionalen

- Verschiebung  $2\pi/N$
- periodische Wavelets [PT95]
- schnelle Algorithmen [Se98]

## Im Mehrdimensionalen darauf aufbauend

- periodische Wavelets mit Richtungsbezug
- ⇒ nicht nur Tensorprodukt
- anisotrope Fourier- und Wavelet-Transformation
  - (wie immer) Umgang mit dem „Curse of Dimension“
  - ? Anordnung der Elemente (etwa für FFT)

## Einleitung - Notation

Betrachten Funktionen  $f, g: \mathbb{T}^d \rightarrow \mathbb{C}$  auf dem  $d$ -dimensionalen Torus  
 $\mathbb{T}^d \cong [0, 2\pi)^d$

Mit

$$\langle f, g \rangle = \frac{1}{(2\pi)^d} \int_{\mathbb{T}^d} f(\mathbf{x}) \overline{g(\mathbf{x})} d\mathbf{x}$$

ist  $L^2(\mathbb{T}^d) := \{f \mid \langle f, f \rangle < \infty\}$  ein Hilbertraum.

Beschreiben eine Funktion  $f \in L^2(\mathbb{T}^d)$  durch ihre Fourier-Reihe

$$f = \sum_{\mathbf{k} \in \mathbb{Z}^d} c_{\mathbf{k}}(f) e^{i\mathbf{k}^T \circ} \quad \text{mit} \quad c_{\mathbf{k}}(f) = \langle f, e^{i\mathbf{k}^T \circ} \rangle$$

Parsevalsche Gleichung:  $\langle f, g \rangle = \sum_{\mathbf{k} \in \mathbb{Z}^d} c_{\mathbf{k}}(f) \overline{c_{\mathbf{k}}(g)}$ ,  $\mathbf{c}(f) = (c_{\mathbf{k}}(f))_{\mathbf{k} \in \mathbb{Z}^d} \in \ell^2(\mathbb{Z}^d)$

# Das Muster und die erzeugende Gruppe

Sei  $\mathbf{M} \in \mathbb{Z}^{d \times d}$  regulär. Das Gitter  $\Lambda(\mathbf{M}) := \mathbf{M}^{-1}\mathbb{Z}^d$  ist 1-periodisch. Definieren *das Muster*  $\mathcal{P}(\mathbf{M})$  als Restklassenrepräsentanten bzgl.  $+$  mod  $\mathbf{I}$ , etwa

$$\mathcal{P}(\mathbf{M}) := \Lambda(\mathbf{M}) \cap [0, 1)^d.$$

Es entsteht die eindeutige Zerlegung für  $\mathbf{x} \in \Lambda(\mathbf{M})$

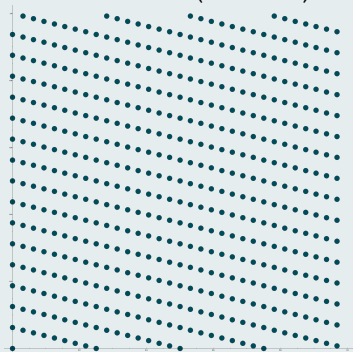
$$\mathbf{x} = \mathbf{y} + \mathbf{z}, \quad \mathbf{y} \in \mathcal{P}(\mathbf{M}), \mathbf{z} \in \mathbb{Z}^d.$$

Analog ist *die erzeugende Gruppe*  $\mathcal{G}(\mathbf{M}) := \mathbf{M}\mathcal{P}(\mathbf{M})$  ein Repräsentantensystem bzgl.  $+$  mod  $\mathbf{M}$  auf  $\mathbb{Z}^d$ , d.h. für  $\mathbf{h} \in \mathbb{Z}^d$  existiert die eindeutige Zerlegung

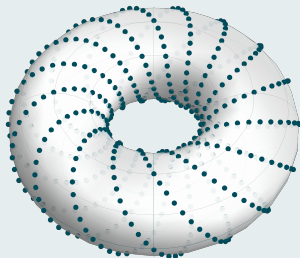
$$\mathbf{k} = \mathbf{h} + \mathbf{Mz}, \quad \mathbf{h} \in \mathcal{G}(\mathbf{M}), \mathbf{z} \in \mathbb{Z}^d$$

## Beispiel: Muster auf dem Torus

Für die Matrix  $\mathbf{M} = \begin{pmatrix} 4 & 16 \\ -16 & 64 \end{pmatrix}$  ergibt sich folgendes Muster



auf  $[0, 1)^2$



auf  $\mathbb{T}^2$

# Die Fourier-Transformation auf dem Muster

Die Fourier-Matrix auf  $\mathcal{P}(\mathbf{M})$ ,  $m = |\det \mathbf{M}| > 0$  ist definiert durch [CL94]

$$\mathcal{F}(\mathbf{M}) := \frac{1}{\sqrt{m}} \left( e^{-2\pi i \mathbf{h}^T \mathbf{y}} \right)_{\mathbf{h} \in \mathcal{G}(\mathbf{M}^T), \mathbf{y} \in \mathcal{P}(\mathbf{M})} \in \mathbb{C}^{m \times m}$$

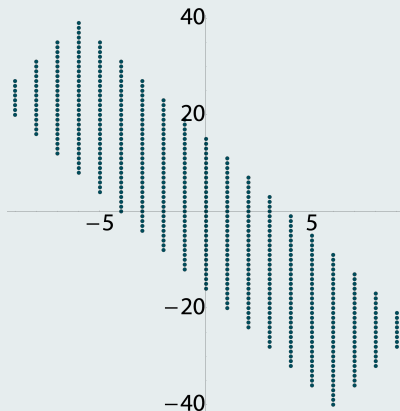
Für einen Vektor  $\mathbf{a} = (a_{\mathbf{y}})_{\mathbf{y} \in \mathcal{P}(\mathbf{M})} \in \mathbb{C}^m$  DFT auf  $\mathcal{P}(\mathbf{M})$  ist

$$\hat{\mathbf{a}} = (\hat{a}_{\mathbf{h}})_{\mathbf{h} \in \mathcal{G}(\mathbf{M}^T)} = \sqrt{m} \mathcal{F}(\mathbf{M}) \mathbf{a} \in \mathbb{C}^m,$$

falls  $\mathbf{a}$  angeordnet ist, wie die Spalten von  $\mathcal{F}(\mathbf{M})$ .

## Beispiel: Erzeugende Gruppe (Menge der Frequenzen)

Für die Matrix  $\mathbf{M} = \begin{pmatrix} 4 & 16 \\ -16 & 64 \end{pmatrix}$  ergibt sich  $\mathcal{G}(\mathbf{M}^T)$  zu





# Die Smith-Normalform und Zyklen im Muster

Die *Smith-Normalform*  $\mathbf{M} = \mathbf{QER}$  ist die Zerlegung von  $\mathbf{M}$  mit  $\mathbf{E} = \text{diag}(\epsilon_1, \dots, \epsilon_d)$ , wobei  $\epsilon_{j-1} | \epsilon_j$ ,  $j = 2, \dots, d$  die Elementarteiler von  $\mathbf{M}$  sind, und  $|\det \mathbf{R}| = |\det \mathbf{Q}| = 1$  (Basiswechselformen).

Es gilt  $\mathcal{P}(\mathbf{M}) \cong \mathcal{P}(\mathbf{E}) = \mathcal{C}_{\epsilon_1} \otimes \dots \otimes \mathcal{C}_{\epsilon_d}$ , wobei  $\mathcal{C}_{\epsilon_j} = \frac{1}{\epsilon_j} \mathbf{e}_j \{0, \dots, \epsilon_j - 1\}$ .  
Insbesondere  $|\mathcal{P}(\mathbf{M})| = |\mathcal{P}(\mathbf{E})| = \det \mathbf{E} = |\det \mathbf{M}|$

Auf  $\mathcal{F}(\mathbf{M})$  angewandt ergibt dies [LP10]

$$\mathcal{F}(\mathbf{M}) = \mathbf{P}_h \mathcal{F}_{\epsilon_1} \otimes \dots \otimes \mathcal{F}_{\epsilon_d} \mathbf{P}_y, \quad \mathcal{F}_{\epsilon} = \left( e^{-2\pi i h \epsilon^{-1} g} \right)_{g,h=0}^{\epsilon-1},$$

wobei  $\mathbf{P}_h, \mathbf{P}_y$  Permutationsmatrizen sind.

**Ziel:** Eine Anordnung, so dass  $\mathbf{P}_h = \mathbf{P}_y$  identisch zur Einheitsmatrix sind.

## Basis für das Muster

Sei  $k = \#\{j, \epsilon_j > 1\}$  und  $\mathbf{E}' = \text{diag}(\epsilon_{d-k+1}, \dots, \epsilon_d)$ . Die Vektoren

$$\mathbf{y}_j = \mathbf{R}^{-1} \frac{1}{\epsilon_{d-k+j}} \mathbf{e}_{d-k+j} \in \mathcal{P}(\mathbf{M}), \quad j = 1, \dots, k$$

sind linear unabhängig ( $\det \mathbf{R} \neq 0$ ) und für ganzzahlige  $\lambda_j$  gilt

$$\sum_{j=1}^k \lambda_j \mathbf{y}_j \equiv \mathbf{0} \pmod{\mathbf{I}} \Leftrightarrow \boldsymbol{\lambda} = \mathbf{E}' \mathbb{Z}^k$$

Zu jedem  $\mathbf{x} \in \mathcal{P}(\mathbf{M})$  existiert also genau ein

$\boldsymbol{\lambda} = (\lambda_j)_{j=1}^k \in [0, 1, \dots, \epsilon_{d-k+1} - 1] \times \dots \times [0, \dots, \epsilon_d - 1]$  so dass

$$\mathbf{x} \equiv \sum_{j=1}^k \lambda_j \mathbf{y}_j \pmod{\mathbf{I}},$$

$\Rightarrow$  lexikografische Anordnung der  $\boldsymbol{\lambda}$  ist eine mögliche Anordnung von  $\mathcal{P}(\mathbf{M})$

# Die schnelle Fourier-Transformation auf dem Muster

Analog zu  $\mathbf{y}_j$  ist eine Basis für  $\mathcal{G}(\mathbf{M}^T)$  gegeben durch  $\mathbf{h}_j = \mathbf{R}^T \mathbf{e}_{d-k+j}$

Dann gilt

$$\langle \mathbf{h}_j, \mathbf{y}_j \rangle = \langle \mathbf{R}^T \mathbf{e}_{d-k+j}, \mathbf{R}^{-1} \frac{1}{\epsilon_{d-k+j}} \mathbf{e}_{d-k+j} \rangle = \left\langle \frac{1}{\epsilon_j} \mathbf{e}_j, \mathbf{R} \mathbf{R}^{-1} \mathbf{e}_j \right\rangle = \frac{1}{\epsilon_{d-k+j}}, \quad j = 1, \dots, k$$

und somit für die eine lexikografische Anordnung der  $\lambda$  per Induktion über  $k$

$$\mathcal{F}(\mathbf{M}) = \mathcal{F}_{\epsilon_1} \otimes \dots \otimes \mathcal{F}_{\epsilon_d} = \mathcal{F}_{\epsilon_{d-k+1}} \otimes \dots \otimes \mathcal{F}_{\epsilon_d}$$

$\Rightarrow$  verallgemeinerter Row-Column-Algorithmus für  $\mathcal{F}(\mathbf{M})\mathbf{a}$ .

# Translationsinvariante Räume I

Ein Raum  $V$  heißt  $\mathbf{M}$ -invariant, falls

$$g \in V \Rightarrow T(\mathbf{y})g := g(\circ - 2\pi\mathbf{y}) \in V, \quad \mathbf{y} \in \mathcal{P}(\mathbf{M}).$$

Für  $f \in L^2(\mathbb{T}^d)$  ist der Raum der Translate  $V_{\mathbf{M}}^f := \text{span} \{T(\mathbf{y})f, \mathbf{y} \in \mathcal{P}(\mathbf{M})\}$   $\mathbf{M}$ -invariant.

Mit einer Zerlegung  $\mathbf{M} = \mathbf{J}\mathbf{N}$ ,  $\mathbf{J}, \mathbf{N} \in \mathbb{Z}^{d \times d}$   
ist  $\mathcal{P}(\mathbf{N}) \subset \mathcal{P}(\mathbf{M})$ , da  $\mathbf{N}\mathbf{z} \in \mathbb{Z}^d \Rightarrow \mathbf{M}\mathbf{z} \in \mathbb{Z}^d$ .  
 $\Rightarrow$  Für  $g \in V_{\mathbf{M}}^f$  ist  $V_{\mathbf{N}}^g$  ein Unterraum von  $V_{\mathbf{M}}^f$ .

$\mathbf{J}$  heißt *Dilatationsmatrix*.

Im Folgenden seien  $|\det \mathbf{J}| = 2$  und  $f, g$  derart gewählt, dass die jeweiligen Translate linear unabhängig sind, d.h.  $\dim V_{\mathbf{M}}^f = m = |\det \mathbf{M}|$  und  $\dim V_{\mathbf{N}}^g = n = |\det \mathbf{N}| = \frac{m}{2}$ .

## Translationsinvariante Räume II

$$\begin{aligned}g \in V_{\mathbf{M}}^f &\Leftrightarrow g = \sum_{\mathbf{y} \in \mathcal{P}(\mathbf{M})} a_{\mathbf{y}} T(\mathbf{y}) f \\ &\Leftrightarrow c_{\mathbf{k}}(g) = \sum_{\mathbf{y} \in \mathcal{P}(\mathbf{M})} a_{\mathbf{y}} e^{-2\pi i \mathbf{k}^T \mathbf{y}} c_{\mathbf{k}}(f), \mathbf{k} \in \mathbb{Z}^d\end{aligned}$$

Zerlegen  $\mathbf{k} = \mathbf{h} + \mathbf{M}^T \mathbf{z}$ ,  $\mathbf{h} \in \mathcal{G}(\mathbf{M}^T)$ ,  $\mathbf{z} \in \mathbb{Z}^d$  und erhalten ( $e^{-2\pi i \mathbf{z}^T \mathbf{M} \mathbf{y}} = 1$ )

$$\begin{aligned}\Leftrightarrow c_{\mathbf{h} + \mathbf{M}^T \mathbf{z}}(g) &= \sum_{\mathbf{y} \in \mathcal{P}(\mathbf{M})} a_{\mathbf{y}} e^{-2\pi i \mathbf{h}^T \mathbf{y}} c_{\mathbf{h} + \mathbf{M}^T \mathbf{z}}(f) \\ &= \hat{a}_{\mathbf{h}} c_{\mathbf{h} + \mathbf{M}^T \mathbf{z}}(f), \quad \mathbf{h} \in \mathcal{G}(\mathbf{M}^T), \mathbf{z} \in \mathbb{Z}^d\end{aligned}$$

# Die Wavelet-Transformation I

Verwenden nun die Darstellung von  $g$  um den Vektor der Translate  $(T(\mathbf{y})g)_{\mathbf{y} \in \mathcal{P}(\mathbf{N})}$  (Basis von  $V_{\mathbf{N}}^g$ ) in  $V_{\mathbf{M}}^f$  darzustellen.

## Theorem

Es gilt

$$\overline{\mathcal{F}(\mathbf{N})} (T(\mathbf{y})g)_{\mathbf{y} \in \mathcal{P}(\mathbf{N})} = \sqrt{\frac{n}{m}} \mathbf{A} \overline{\mathcal{F}(\mathbf{M})} (T(\mathbf{y})f)_{\mathbf{y} \in \mathcal{P}(\mathbf{M})}. \quad (1)$$

wobei für eine bestimmte Anordnung der Elemente von  $\mathcal{G}(\mathbf{M}^T)$  gilt

$$\mathbf{A} = \left( \text{diag}(\hat{a}_{\mathbf{k}+\mathbf{j}^T})_{\mathbf{h} \in \mathcal{G}(\mathbf{N}^T)} \right)_{\mathbf{l} \in \mathcal{G}(\mathbf{J}^T)} \in \mathbb{C}^{n \times m} \quad (2)$$

und  $\hat{a}_{\mathbf{k}}$  diejenigen von der vorherigen Folie sind.

# Die Wavelet-Transformation II

Beweisidee. (nach [LP10]).

Stellen  $T(\mathbf{y})g$  in seiner Fourier-Reihe dar:

$$\overline{\mathcal{F}(\mathbf{N})} (T(\mathbf{y})g)_{\mathbf{y} \in \mathcal{P}(\mathbf{N})} = \overline{\mathcal{F}(\mathbf{N})} \left( \sum_{\mathbf{k} \in \mathbb{Z}^d} c_{\mathbf{k}}(g) e^{i\mathbf{k}^T \circ - 2\pi i \mathbf{k}^T \mathbf{y}} \right)_{\mathbf{y} \in \mathcal{P}(\mathbf{N})}$$

Zerlegen  $\mathbf{k}$  bzgl.  $\mathbf{N}^T$  zu  $\mathbf{h} + \mathbf{N}^T \mathbf{k}$ ,  $\mathbf{h} \in \mathcal{G}(\mathbf{N}^T)$ ,  $\mathbf{k} \in \mathbb{Z}^d$  und erhalten

$$= \overline{\mathcal{F}(\mathbf{N})} \left( \sum_{\mathbf{h} \in \mathcal{G}(\mathbf{N}^T)} e^{-2\pi i \mathbf{h}^T \mathbf{y}} \sum_{\mathbf{k} \in \mathbb{Z}^d} c_{\mathbf{h} + \mathbf{N}^T \mathbf{k}}(g) e^{i(\mathbf{h}^T + \mathbf{k}^T \mathbf{N}) \circ} \right)_{\mathbf{y} \in \mathcal{P}(\mathbf{N})}$$

Zerlegen  $\mathbf{N}^T \mathbf{k}$  bzgl.  $\mathcal{G}(\mathbf{J}^T)$  zu  $\mathbf{N}^T (\mathbf{I} + \mathbf{J}^T \mathbf{k})$  und stellen  $g$  in  $V_{\mathbf{M}}^f$  dar

$$\sqrt{\frac{n}{m}} \sqrt{m} \left( \sum_{\mathbf{l} \in \mathcal{G}(\mathbf{J}^T)} \hat{a}_{\mathbf{h} + \mathbf{N}^T \mathbf{l}} \sum_{\mathbf{k} \in \mathbb{Z}^d} c_{\mathbf{h} + \mathbf{N}^T \mathbf{l} + \mathbf{M}^T \mathbf{k}}(f) e^{i(\mathbf{h}^T + \mathbf{g}^T \mathbf{N} + \mathbf{k}^T \mathbf{M}) \circ} \right)_{\mathbf{h} \in \mathcal{G}(\mathbf{N}^T)}$$



## Die Wavelet-Transformation III

Betrachtet man nun für  $\mathbf{M} = \mathbf{JN}$ ,  $|\det \mathbf{J}| = 2$  die Formel (1) mit

- $f = \varphi_{\mathbf{M}}$  als Skalierungsfunktion
- für  $g$  je  $\varphi_{\mathbf{N}}, \psi_{\mathbf{N}}$ , so dass  $\langle T(\mathbf{x})\varphi_{\mathbf{N}}, T(\mathbf{y})\psi_{\mathbf{N}} \rangle = 0$
- $\tau \in V_{\mathbf{M}}^{\varphi_{\mathbf{M}}} \Rightarrow \tau = \sum_{\mathbf{y} \in \mathcal{P}(\mathbf{M})} b_{\mathbf{y}} T(\mathbf{y})\varphi_{\mathbf{M}}$  als zu zerlegende Funktion

$\Rightarrow$  auf R.S. Funktionenvektor  $(b_{\mathbf{y}} T(\mathbf{y})f)_{\mathbf{y} \in \mathcal{P}(\mathbf{M})}$

Wegen der linearen Unabhängigkeit der Translate ist  $V_{\mathbf{M}}^{\varphi_{\mathbf{M}}} = V_{\mathbf{N}}^{\varphi_{\mathbf{N}}} \oplus V_{\mathbf{N}}^{\psi_{\mathbf{N}}}$ .

Durch Anwendung von (1) entsteht die Zerlegung

$$\tau = \tau_1 + \tau_2 \text{ mit } \tau_1 \in V_{\mathbf{N}}^{\varphi_{\mathbf{N}}}, \tau_2 \in V_{\mathbf{N}}^{\psi_{\mathbf{N}}}, \text{ also } \langle \tau_1, \tau_2 \rangle = 0$$



# Die schnelle Wavelet-Transformation

Ist  $\tau$  gegeben als  $(\hat{b}_{\mathbf{k}})_{\mathbf{h} \in \mathcal{G}(\mathbf{M}^T)}$ , also  $c_{\mathbf{k}+\mathbf{M}^T\mathbf{z}}(\tau) = \hat{b}_{\mathbf{k}}c_{\mathbf{k}+\mathbf{M}^T\mathbf{z}}(\varphi_{\mathbf{M}})$ , vereinfacht sich wegen (2) die Zerlegung (1) zur Summe.

Mit der Anordnung aus den FFTs

⇒ schneller Zugriff auf die Elemente  $\hat{d}$  in L.S.  $(\overline{\mathcal{F}(\mathbf{N})}(d_{\mathbf{y}}T(\mathbf{y})g))_{\mathbf{y} \in \mathcal{P}(\mathbf{N})}$

Zusammen mit Adressierung der  $\mathbf{N}^T\mathbf{l}$ ,  $\mathbf{l} \in \mathcal{G}(\mathbf{J}^T)$  in  $\mathcal{G}(\mathbf{M}^T)$

⇒  $O(n)$  einfach implementierbar (Tensorprodukt, bis auf „Offset-Schritt“  $\mathbf{N}^T\mathbf{l}$ ).

⊕ „Änderung der Adressierung“ von  $\mathbf{N}^T\mathbf{l}$  kann zur Richtungsklassifikation genutzt werden

⇒ Verallgemeinerung der 1D-Skalierungseigenschaft [Se98]

## Beispiel: Der Dirichlet-Fall

Sei  $r(\mathbf{k})$  die Anzahl Ränder von  $[0, 1]^2$ , auf denen  $\mathbf{M}^{-T}\mathbf{k}$ ,  $\mathbf{k} \in \mathbb{Z}^2$  liegt.  
 Definieren  $\varphi_{\mathbf{M}}$  durch die Fourier-Koeffizienten:

$$c_{\mathbf{k}}(\varphi_{\mathbf{M}}) := \begin{cases} 2^{-r(\mathbf{k})/2} & \text{falls } \mathbf{M}^{-T}\mathbf{k} \in [0, 1]^2 \\ 0 & \text{sonst} \end{cases}$$

Analog definieren wir  $\varphi_{\mathbf{N}}$ . Für  $\mathbf{M} = \begin{pmatrix} 4 & 16 \\ -16 & 64 \end{pmatrix}$  und  $\mathbf{J} = \begin{pmatrix} 1 & -1 \\ 1 & 1 \end{pmatrix}$  sind


 $c_{\mathbf{k}}(\varphi_{\mathbf{M}})$ 

 $c_{\mathbf{k}}(\varphi_{\mathbf{N}})$ 

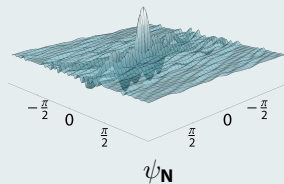
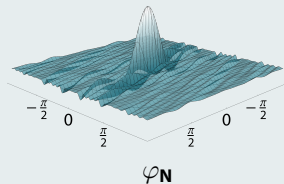
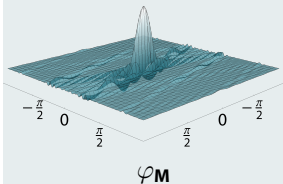
 $c_{\mathbf{k}}(\psi_{\mathbf{N}})$

## Beispiel: Der Dirichlet-Fall

Sei  $r(\mathbf{k})$  die Anzahl Ränder von  $[0, 1]^2$ , auf denen  $\mathbf{M}^{-T}\mathbf{k}$ ,  $\mathbf{k} \in \mathbb{Z}^2$  liegt.  
 Definieren  $\varphi_{\mathbf{M}}$  durch die Fourier-Koeffizienten:

$$c_{\mathbf{k}}(\varphi_{\mathbf{M}}) := \begin{cases} 2^{-r(\mathbf{k})/2} & \text{falls } \mathbf{M}^{-T}\mathbf{k} \in [0, 1]^2 \\ 0 & \text{sonst} \end{cases}$$

Analog definieren wir  $\varphi_{\mathbf{N}}$ . Für  $\mathbf{M} = \begin{pmatrix} 4 & 16 \\ -16 & 64 \end{pmatrix}$  und  $\mathbf{J} = \begin{pmatrix} 1 & -1 \\ 1 & 1 \end{pmatrix}$  sind



## Zusammenfassung

- Durch die Muster entsteht eine Fourier-Transformation mit Richtungsbezug
- die vorgestellte Anordnung ermöglicht
  - FFT mit verallgemeinertem Row-Column-Algorithmus
  - eine Wavelet-Transformation in  $O(m)$  ( $O(2n)$ ).
- anwendbar auf beliebige Skalierungsfunktionen und dazugehörige Wavelets

## Herausforderungen

- Dilatationsmatrizen mit Scherung
- Verallgemeinerung der de-La-Vallée-Poussin-Mittel

# Vielen Dank für die Aufmerksamkeit.

## Literatur

- [CL94] C.K. Chui, C. Li: *A general framework of multivariate wavelets with duals*, ACHA 1-4 / 1994 p.368–390
- [LP10] D. Langemann, J. Prestin: *Multivariate Periodic Wavelet Analysis*, ACHA 28-1 / 2010 p. 46–66
- [PT95] G. Plonka, M. Tasche: *On the computation of periodic spline wavelets*, ACHA 2-1 / 1995 p. 1–14
- [Se98] K. Selig: *periodische Wavelet-Packets und eine gradoptimale Schauderbasis*, Dissertation, Universität Rostock, Shaker Verlag 1998